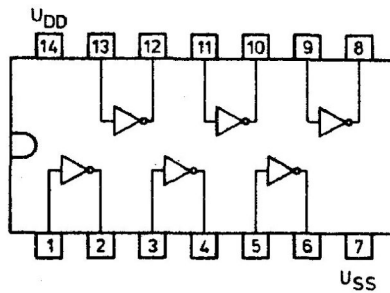


MCY 74069N
MCY 64069N
Sześciokrotny inwerter

SSI, CMOS
Bramka aluminiowa

Obudowa CE 70

Układ wyprowadzeń



74069

Parametry dopuszczalne

$U_{SS} = 0 \text{ V}$

Oznaczenie	Nazwa	Jedn.	Wartość		
			min	max	
U_{DD}	Napięcie zasilania	V	-0,5	+20	
U_I	Napięcie wejściowe	V	-0,5	$U_{DD} + 0,5$	
I_I	Prąd wejściowy	mA	-10	+10	
P_D	Moc rozpraszana	mW		500	
t_{amb}	Temperatura otoczenia w czasie pracy	MCY 74....N	°C	-40	+85
		MCY 64....N	°C	0	+70
			°C	-55	+125
t_{stg}	Temperatura przechowywania	°C	-55	+125	

Parametry charakterystyczne statyczne

Oznaczenie	Nazwa	Jedn.	Wartość							Warunki pomiaru		
			$t_{amb \min}$		+25°C			$t_{amb \max}$		U_I	U_O	U_{DD}
			min	max	min	typ	max	min	max	[V]	[V]	[V]
I_{DD}	Prąd zasilania w stanie spoczynku	μA		0,25 0,5 1 5		0,01 0,01 0,01 0,02	0,25 0,5 1 5		7,5 15 30 150	0;5 0;10 0;15 0;20	5 10 15 20	
U_{IH}	Napięcie wejściowe w stanie wysokim	V	4 8 12,5		4 8 12,5			4 8 12,5		0,5 1 1,5	5 10 15	
U_{IL}	Napięcie wejściowe w stanie niskim	V		1 2 2,5			1 2 2,5		1 2 2,5	4,5 9,0 13,5	5 10 15	
I_I	Prąd wejściowy	μA		$\pm 0,1$		$\pm 10^{-5}$	$\pm 0,1$			0;18	18	
U_{OH}	Napięcie wyjściowe w stanie wysokim	V	$U_{DD}-0,05$		$U_{DD}-0,05$	U_{DD}		$U_{DD}-0,05$		0	5;10;15	
U_{OL}	Napięcie wyjściowe w stanie niskim	V		0,05		0	0,05		0,05	U_{DD}	5;10;15	
I_{OH}	Prąd wyjściowy w stanie wysokim	mA	-0,64 -2 -1,6 -4,2		-0,51 -1,6 -1,3 -3,4	-1 -3,2 -2,6 -6,8		-0,36 -1,15 -0,9 -2,4		0;5 0;5 0;10 0;15	4,6 2,5 9,5 13,5	5 5 10 15
I_{OL}	Prąd wyjściowy w stanie niskim	mA	0,64 1,6 4,2		0,51 1,3 3,4	1 2,6 6,8		0,36 0,9 2,4		0;5 0;10 0;15	0,4 0,5 1,5	5 10 15

$t_{amb \min} = -40^{\circ}C$ dla MCY 64.....; $0^{\circ}C$ dla MCY 74.....

$t_{amb \max} = +85^{\circ}C$ dla MCY 64.....; $+70^{\circ}C$ dla MCY 74.....

Parametry charakterystyczne dynamiczne

$/t_{amb} = +25^{\circ}C; t_r = t_f = 20 \text{ ns}, C_L = 50 \text{ pF}, R_L = 200 \text{ k}\Omega /$

Oznaczenie	Nazwa	Jedn.	Wartość		Warunki pomiaru U_{DD} [V]
			typ	max	
t_{PLH}	Czas propagacji zmiany stanu z niskiego na wysoki	ns	55	110	5
t_{PHL}	Czas propagacji zmiany stanu z wysokiego na niski		30	60	10
			25	50	15
t_{TLH}	Czas narastania zbocza sygnału wyjściowego	ns	100	200	5
t_{THL}	Czas opadania zbocza sygnału wyjściowego		50	100	10
			40	80	15
C_I	Pojemność wejściowa	pF	10	15	